

Starkniederschlagshöhen und -spenden gemäß KOSTRA-DWD-2020

Rasterfeld 139189

(Zeile 139, Spalte 189)

Regenspende und Bemessungsniederschlagswerte in Abhängigkeit von Wiederkehrzeit T und Dauerstufe D

| Dauerstufe D | | Wiederkehrzeit T | | | | | | | | | | | | | | | | | |
|--------------|-----|------------------|------------|------|------------|------|------------|-------|------------|-------|------------|-------|------------|-------|------------|-------|------------|-------|------------|
| | | 1 a | | 2 a | | 3 a | | 5 a | | 10 a | | 20 a | | 30 a | | 50 a | | 100 a | |
| min | Std | mm | l / (s ha) | mm | l / (s ha) | mm | l / (s ha) | mm | l / (s ha) | mm | l / (s ha) | mm | l / (s ha) | mm | l / (s ha) | mm | l / (s ha) | mm | l / (s ha) |
| 5 | | 7,4 | 246,7 | 9,3 | 310,0 | 10,6 | 353,3 | 12,2 | 406,7 | 14,5 | 483,3 | 16,9 | 563,3 | 18,5 | 616,7 | 20,5 | 683,3 | 23,5 | 783,3 |
| 10 | | 9,6 | 160,0 | 12,2 | 203,3 | 13,8 | 230,0 | 15,9 | 265,0 | 18,9 | 315,0 | 22,1 | 368,3 | 24,1 | 401,7 | 26,8 | 446,7 | 30,6 | 510,0 |
| 15 | | 11,0 | 122,2 | 14,0 | 155,6 | 15,8 | 175,6 | 18,2 | 202,2 | 21,7 | 241,1 | 25,3 | 281,1 | 27,6 | 306,7 | 30,7 | 341,1 | 35,1 | 390,0 |
| 20 | | 12,0 | 100,0 | 15,3 | 127,5 | 17,3 | 144,2 | 19,9 | 165,8 | 23,7 | 197,5 | 27,6 | 230,0 | 30,2 | 251,7 | 33,6 | 280,0 | 38,4 | 320,0 |
| 30 | | 13,6 | 75,6 | 17,2 | 95,6 | 19,5 | 108,3 | 22,5 | 125,0 | 26,7 | 148,3 | 31,2 | 173,3 | 34,1 | 189,4 | 37,9 | 210,6 | 43,3 | 240,6 |
| 45 | | 15,2 | 56,3 | 19,3 | 71,5 | 21,9 | 81,1 | 25,2 | 93,3 | 30,0 | 111,1 | 35,0 | 129,6 | 38,2 | 141,5 | 42,5 | 157,4 | 48,6 | 180,0 |
| 60 | 1 | 16,5 | 45,8 | 20,9 | 58,1 | 23,7 | 65,8 | 27,3 | 75,8 | 32,5 | 90,3 | 37,8 | 105,0 | 41,4 | 115,0 | 46,0 | 127,8 | 52,6 | 146,1 |
| 90 | 1,5 | 18,4 | 34,1 | 23,3 | 43,1 | 26,4 | 48,9 | 30,4 | 56,3 | 36,2 | 67,0 | 42,2 | 78,1 | 46,1 | 85,4 | 51,3 | 95,0 | 58,6 | 108,5 |
| 120 | 2 | 19,8 | 27,5 | 25,2 | 35,0 | 28,5 | 39,6 | 32,8 | 45,6 | 39,1 | 54,3 | 45,6 | 63,3 | 49,8 | 69,2 | 55,3 | 76,8 | 63,3 | 87,9 |
| 180 | 3 | 22,1 | 20,5 | 28,0 | 25,9 | 31,7 | 29,4 | 36,5 | 33,8 | 43,5 | 40,3 | 50,7 | 46,9 | 55,4 | 51,3 | 61,5 | 56,9 | 70,4 | 65,2 |
| 240 | 4 | 23,8 | 16,5 | 30,2 | 21,0 | 34,1 | 23,7 | 39,3 | 27,3 | 46,9 | 32,6 | 54,6 | 37,9 | 59,7 | 41,5 | 66,3 | 46,0 | 75,8 | 52,6 |
| 360 | 6 | 26,4 | 12,2 | 33,5 | 15,5 | 37,9 | 17,5 | 43,7 | 20,2 | 52,0 | 24,1 | 60,6 | 28,1 | 66,3 | 30,7 | 73,6 | 34,1 | 84,2 | 39,0 |
| 540 | 9 | 29,3 | 9,0 | 37,2 | 11,5 | 42,1 | 13,0 | 48,5 | 15,0 | 57,8 | 17,8 | 67,3 | 20,8 | 73,5 | 22,7 | 81,7 | 25,2 | 93,5 | 28,9 |
| 720 | 12 | 31,5 | 7,3 | 40,0 | 9,3 | 45,3 | 10,5 | 52,2 | 12,1 | 62,2 | 14,4 | 72,4 | 16,8 | 79,2 | 18,3 | 88,0 | 20,4 | 100,6 | 23,3 |
| 1080 | 18 | 35,0 | 5,4 | 44,4 | 6,9 | 50,3 | 7,8 | 57,9 | 8,9 | 69,0 | 10,6 | 80,4 | 12,4 | 87,8 | 13,5 | 97,6 | 15,1 | 111,6 | 17,2 |
| 1440 | 24 | 37,7 | 4,4 | 47,8 | 5,5 | 54,1 | 6,3 | 62,3 | 7,2 | 74,2 | 8,6 | 86,5 | 10,0 | 94,5 | 10,9 | 105,1 | 12,2 | 120,1 | 13,9 |
| 2880 | 48 | 44,9 | 2,6 | 57,1 | 3,3 | 64,6 | 3,7 | 74,4 | 4,3 | 88,6 | 5,1 | 103,3 | 6,0 | 112,8 | 6,5 | 125,4 | 7,3 | 143,4 | 8,3 |
| 4320 | 72 | 49,8 | 1,9 | 63,3 | 2,4 | 71,6 | 2,8 | 82,5 | 3,2 | 98,3 | 3,8 | 114,5 | 4,4 | 125,1 | 4,8 | 139,1 | 5,4 | 159,0 | 6,1 |
| 5760 | 96 | 53,6 | 1,6 | 68,1 | 2,0 | 77,0 | 2,2 | 88,8 | 2,6 | 105,7 | 3,1 | 123,2 | 3,6 | 134,7 | 3,9 | 149,7 | 4,3 | 171,1 | 5,0 |
| 7200 | 120 | 56,8 | 1,3 | 72,1 | 1,7 | 81,6 | 1,9 | 94,0 | 2,2 | 111,9 | 2,6 | 130,4 | 3,0 | 142,5 | 3,3 | 158,4 | 3,7 | 181,2 | 4,2 |
| 8640 | 144 | 59,5 | 1,1 | 75,5 | 1,5 | 85,4 | 1,6 | 98,5 | 1,9 | 117,3 | 2,3 | 136,6 | 2,6 | 149,3 | 2,9 | 165,9 | 3,2 | 189,8 | 3,7 |
| 10080 | 168 | 61,9 | 1,0 | 78,5 | 1,3 | 88,9 | 1,5 | 102,4 | 1,7 | 122,0 | 2,0 | 142,1 | 2,3 | 155,3 | 2,6 | 172,6 | 2,9 | 197,4 | 3,3 |

Starkniederschlagshöhen und -spenden gemäß KOSTRA-DWD-2020

Rasterfeld 139189

(Zeile 139, Spalte 189)

Örtliche Unsicherheiten in Abhängigkeit von Wiederkehrzeit T und Dauerstufe D

| Dauerstufe D | | Wiederkehrzeit T | | | | | | | | |
|--------------|-----|------------------|-----|-----|-----|------|------|------|------|-------|
| | | 1 a | 2 a | 3 a | 5 a | 10 a | 20 a | 30 a | 50 a | 100 a |
| min | Std | ± % | ± % | ± % | ± % | ± % | ± % | ± % | ± % | ± % |
| 5 | | 13 | 13 | 14 | 15 | 16 | 16 | 16 | 17 | 17 |
| 10 | | 15 | 17 | 18 | 19 | 20 | 21 | 21 | 22 | 22 |
| 15 | | 17 | 19 | 20 | 21 | 22 | 23 | 24 | 24 | 25 |
| 20 | | 18 | 20 | 21 | 22 | 24 | 24 | 25 | 25 | 26 |
| 30 | | 19 | 21 | 22 | 23 | 25 | 26 | 26 | 27 | 27 |
| 45 | | 19 | 22 | 23 | 24 | 25 | 26 | 27 | 27 | 28 |
| 60 | 1 | 19 | 22 | 23 | 24 | 25 | 26 | 26 | 27 | 28 |
| 90 | 1,5 | 18 | 21 | 22 | 23 | 24 | 25 | 26 | 26 | 27 |
| 120 | 2 | 18 | 20 | 21 | 23 | 24 | 25 | 25 | 26 | 26 |
| 180 | 3 | 17 | 19 | 20 | 21 | 23 | 24 | 24 | 25 | 25 |
| 240 | 4 | 16 | 18 | 20 | 21 | 22 | 23 | 23 | 24 | 24 |
| 360 | 6 | 15 | 17 | 18 | 19 | 21 | 22 | 22 | 23 | 23 |
| 540 | 9 | 15 | 17 | 17 | 18 | 20 | 20 | 21 | 21 | 22 |
| 720 | 12 | 14 | 16 | 17 | 18 | 19 | 20 | 20 | 21 | 21 |
| 1080 | 18 | 14 | 15 | 16 | 17 | 18 | 19 | 19 | 20 | 20 |
| 1440 | 24 | 14 | 15 | 16 | 17 | 18 | 19 | 19 | 19 | 20 |
| 2880 | 48 | 15 | 16 | 16 | 17 | 17 | 18 | 18 | 19 | 19 |
| 4320 | 72 | 16 | 17 | 17 | 17 | 18 | 18 | 18 | 19 | 19 |
| 5760 | 96 | 17 | 17 | 17 | 18 | 18 | 18 | 19 | 19 | 19 |
| 7200 | 120 | 18 | 18 | 18 | 18 | 19 | 19 | 19 | 19 | 19 |
| 8640 | 144 | 19 | 19 | 19 | 19 | 19 | 19 | 19 | 20 | 20 |
| 10080 | 168 | 20 | 19 | 19 | 19 | 19 | 20 | 20 | 20 | 20 |

Parameter für abweichende T und D

Lokationsparameter ξ (Xi)

16,78050694

Skalenparameter α (Alpha)

6,28661033

Formparameter κ (Kappa)

-0,1

1. Koutsoyiannis-Parameter θ (Theta)

0,02418815

2. Koutsoyiannis-Parameter η (Eta)

0,74521025

Parameter für dauerstufenübergreifende Extremwertschätzung nach KOUTSOYIANNIS et al. 1998.

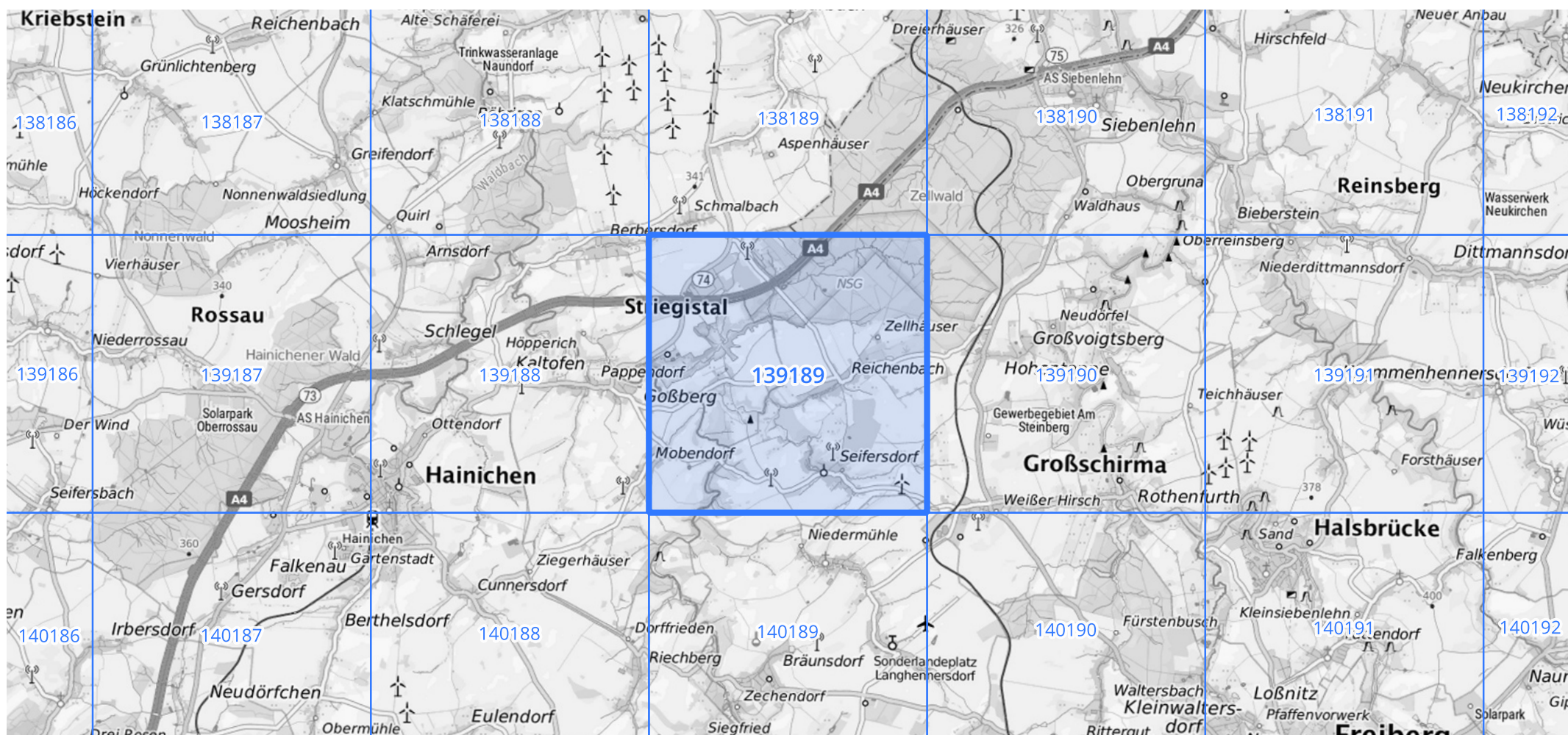
Siehe auch Anwendungshilfe zu KOSTRA-DWD-2020 des Deutschen Wetterdienstes.

Starkniederschlagshöhen und -spenden gemäß KOSTRA-DWD-2020

Rasterfeld 139189

(Zeile 139, Spalte 189)

Übersichtskarte des Rasterfeldes 139189, M 1 : 100 000



Quelle Rasterdaten: KOSTRA-DWD-2020 des Deutschen Wetterdienstes, Stand 12/2022.

Seite 3 von 3

Kartendarstellung: © Bundesamt für Kartographie und Geodäsie (2023), Datenquellen: https://sgx.geodatenzentrum.de/web_public/gdz/datenquellen/Datenquellen_TopPlusOpen.html

Für die Richtigkeit und Aktualität der Angaben wird keine Gewähr übernommen. Erstellt 01/2023.